

Figure 2.1 Graphic representation of a discrete-time signal.

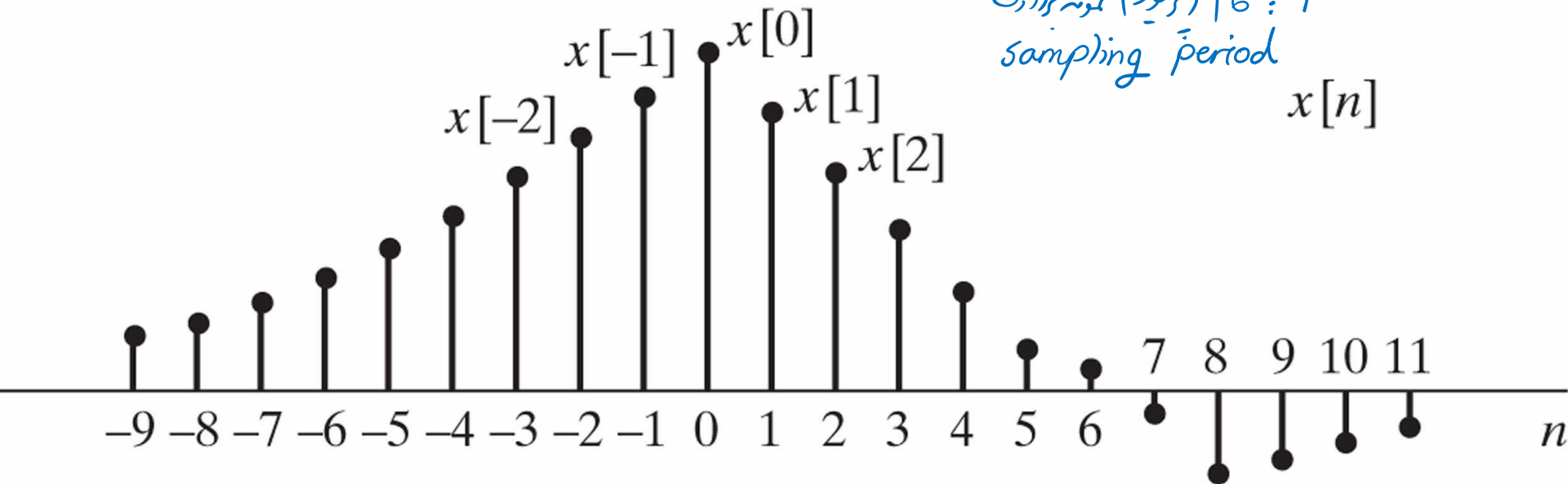
نمونه‌های زمان‌بندی شده

$$x = \{x[n]\}, \quad -\infty < n < +\infty$$

$$x[n] = x_a(nT), \quad -\infty < n < +\infty$$

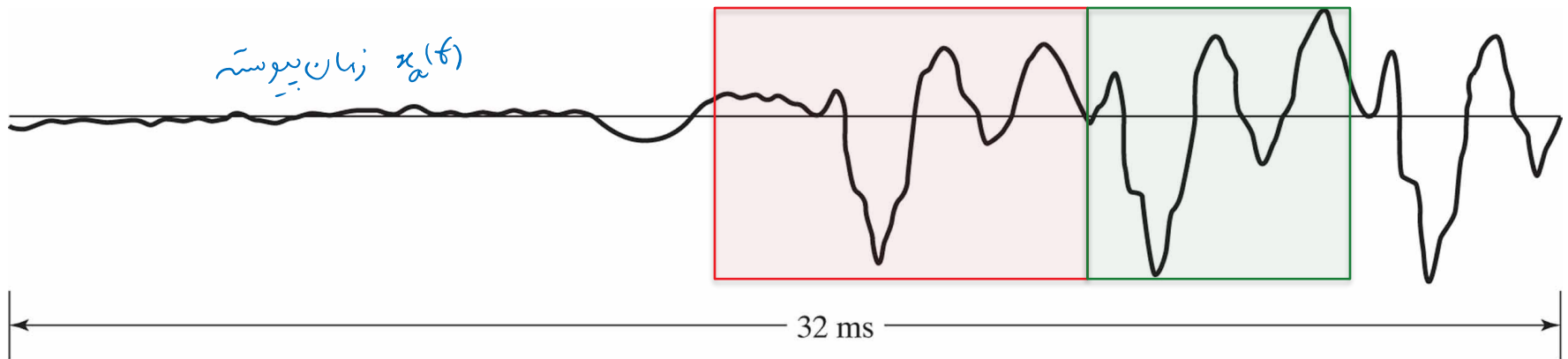
نمونه برداری در فواصل T خواهد شد

T : نمونه برداری
sampling period



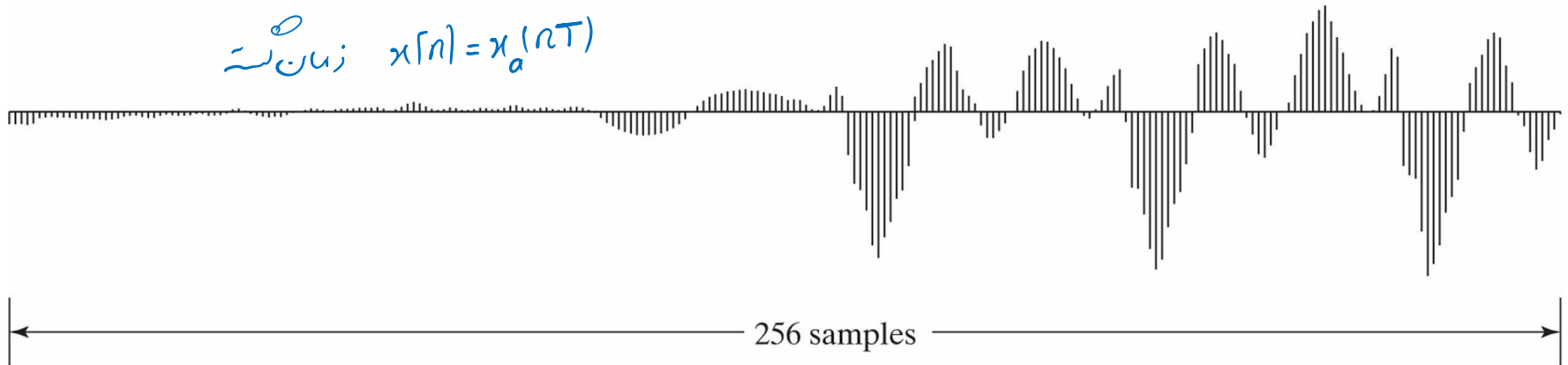
32 ms سین لفار

Figure 2.2 (a) Segment of a continuous-time speech signal $x_a(t)$. (b) Sequence of samples $x[n] = x_a(nT)$ obtained from the signal in part (a) with $T = 125 \mu s$.



(a)

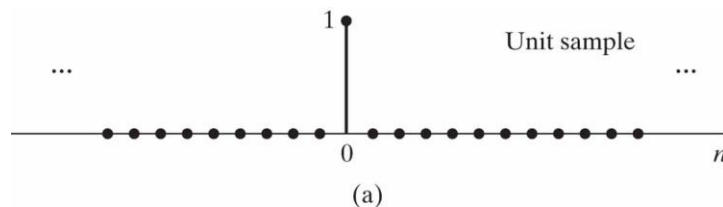
$$\text{تعداد نمونه ها} = \frac{32 \text{ ms}}{T = 125 \mu s} = 256 \text{ samples}$$



(b)

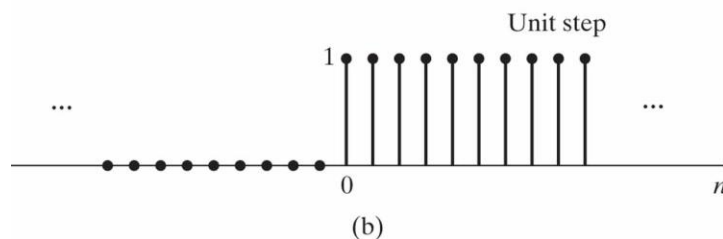
Figure 2.3 Some basic sequences. The sequences shown play important roles in the analysis and representation of discrete-time signals and systems.

$$\delta[n] = u[n] - u[n-1]$$



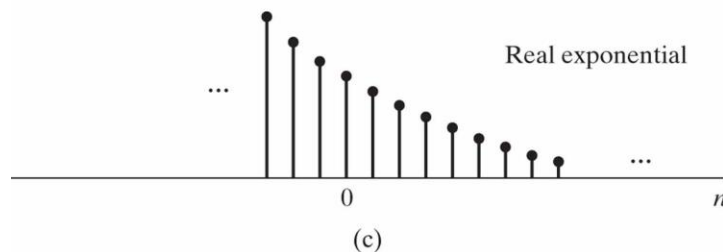
$$\delta[n] = \begin{cases} 1 & ; n=0 \\ 0 & ; n \neq 0 \end{cases} \quad \text{ضربه واحد}$$

$$u[n] = \sum_{k=-\infty}^n \delta[k]$$



$$u[n] = \begin{cases} 1 & ; n \geq 0 \\ 0 & ; n < 0 \end{cases} \quad \text{پله واحد}$$

$$u[n] = \sum_{k=0}^{\infty} \delta[n-k]$$

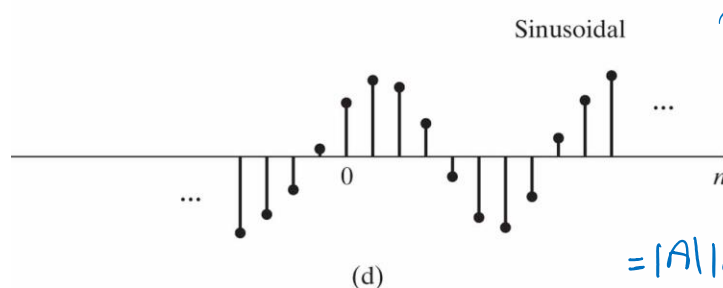


$$x[n] = A\alpha^n \quad \text{رابطه کلی نمایی}$$

→ A, α حقیقی

نزدکی: $0 < \alpha < 1$

نزدکی، تغییر است: $\alpha < 0$



A, α نمایی \Rightarrow نمایی نمایی

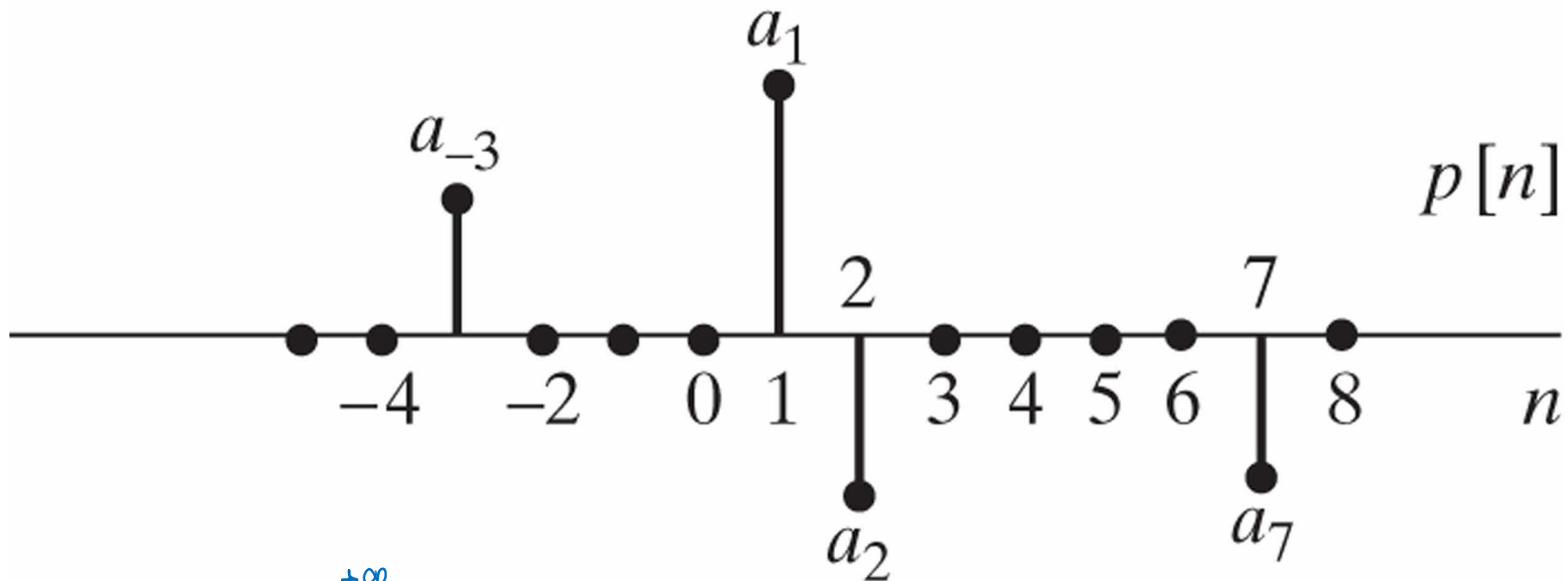
$$x[n] = A\alpha^n = |A|e^{j\phi} |\alpha|^n e^{j\omega_0 n}$$

$$= |A||\alpha|^n e^{j(\omega_0 n + \phi)}$$

$$= |A||\alpha|^n \cos(\omega_0 n + \phi) + j|A||\alpha|^n \sin(\omega_0 n + \phi)$$

Figure 2.4 Example of a sequence to be represented as a sum of scaled, delayed impulses.

$$p[n] = a_{-3} \delta[n+3] + a_1 \delta[n-1] + a_2 \delta[n-2] + a_7 \delta[n-7]$$

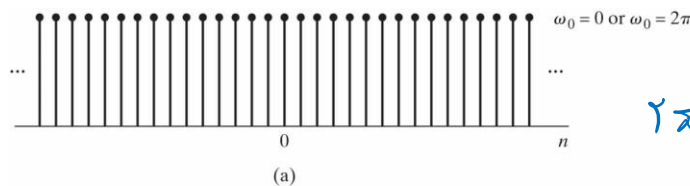


General case:

$$x[n] = \sum_{k=-\infty}^{+\infty} x[k] \delta[n-k]$$

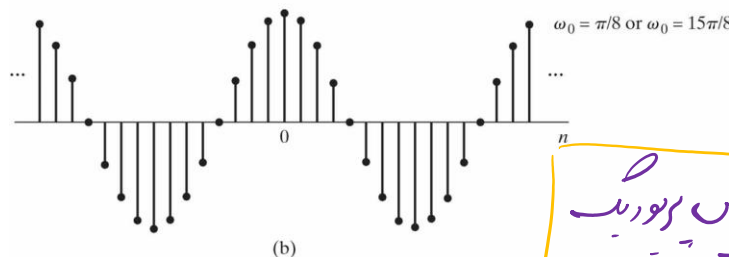
تفاوت‌های بین‌های نمی‌نمونه (از جمله سوس) در حالت زمان پیوسته و گسسته:

Figure 2.5 $\cos \omega_0 n$ for several different values of ω_0 . As ω_0 increases from zero toward π (parts a-d), the sequence oscillates more rapidly. As ω_0 increases from π to 2π (parts d-a), the oscillations become slower.



۱- تغییرات بین با افزایش فرکانس

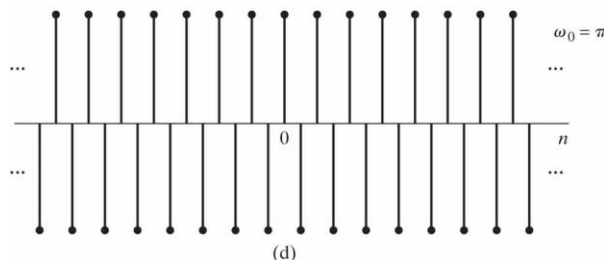
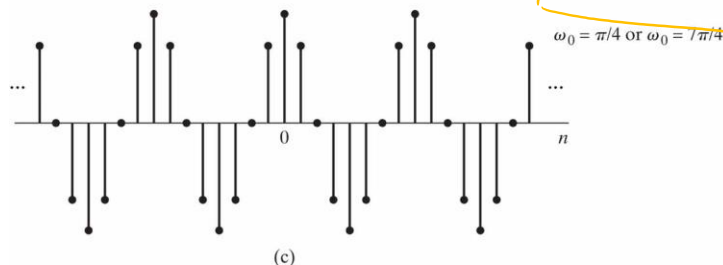
از ۰ تا ۲ که زیاد می‌شود پس از ۲ که تا ۲



گاهش می‌یابد و این روند به طبع

متناوب می‌شود.

بین‌های زمان پیوسته در حوزه فرکانس پیوسته هستند.



$$x[n] = Ae^{j\omega_0 n}$$

فرکانس $\omega_0 + 2\pi$ را در نظر

$$\begin{aligned} x[n] &= Ae^{j(\omega_0 + 2\pi)n} \\ &= Ae^{j\omega_0 n} e^{j2\pi n} \\ &= Ae^{j\omega_0 n} \end{aligned}$$

$$(\omega_0 + 2\pi r)$$

تفاوت دایم نیست در زمان پیوسته و گسسته:

تعریف پریودیک بودن: $x[n+N] = x[n]$; $\forall n$

برای پریودیک بودن دنباله در زمان گسسته:

$$x[n] = A \cos(\omega_0 n + \phi)$$

$$\rightarrow A \cos(\omega_0 (n+N) + \phi) = A \cos(\omega_0 n + \phi)$$

$$A \cos(\underbrace{\omega_0 n + \phi + \omega_0 N}_{\omega_0 N = 2\pi k}) = A \cos(\underbrace{\omega_0 n + \phi}_{\omega_0 N = 2\pi k})$$

شرط پریودیک بودن $\boxed{\omega_0 N = 2\pi k}$

نکته: این‌ها سیگنال‌های سینوسی زمان پیوسته و گسسته پریودیک اند ولی
این‌ها سیگنال‌های سینوسی زمان پیوسته و گسسته پریودیک نیستند.
شرط $\omega_0 N = 2\pi k$ پریودیک نه.

مثال: $x[n] = \cos\left(\frac{\pi}{4} n\right)$
 ω_0

$x[n] = \cos\left(\frac{\pi}{4} n\right)$
 ω_0

پریودیک $\frac{\pi}{4} N = 2\pi k \xrightarrow{k=1} \boxed{N=8}$

غیر پریودیک $\frac{1}{4} N = 2\pi k$

رسم سیگنال زمان گسسته در MATLAB

```
n=-20:20;  
x=cos(pi/8*n);  
stem(n,x)
```

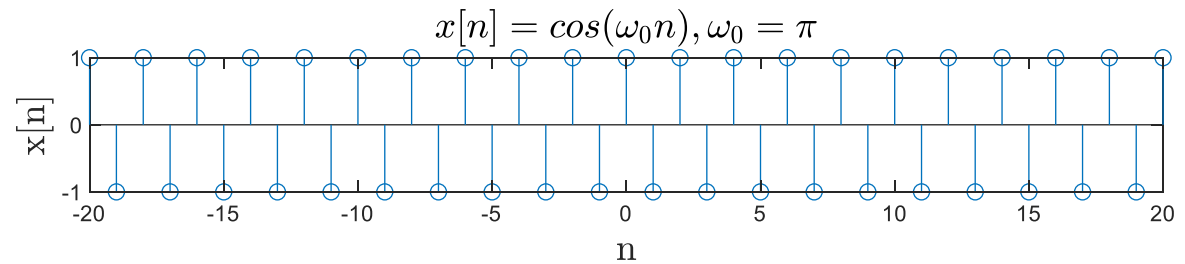
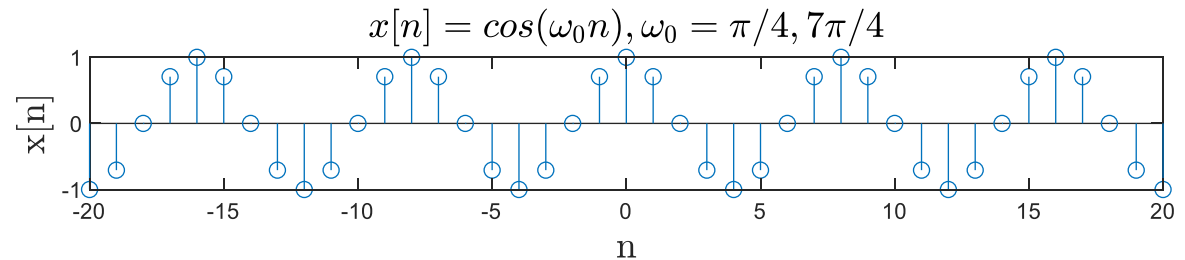
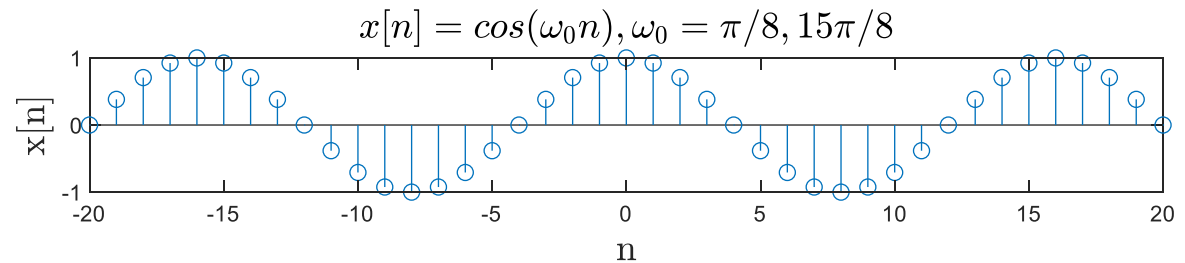
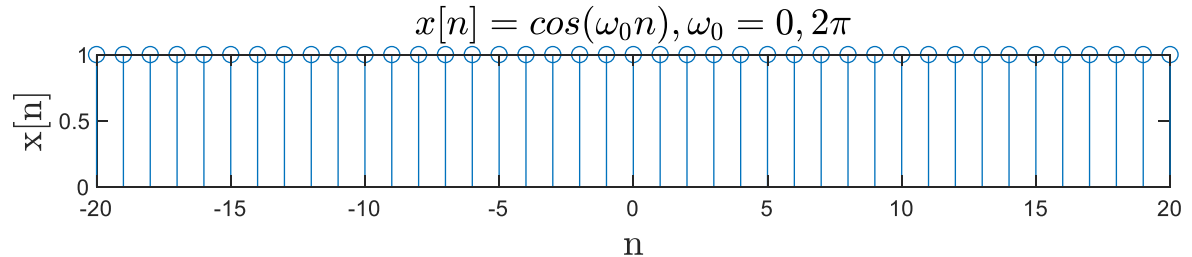
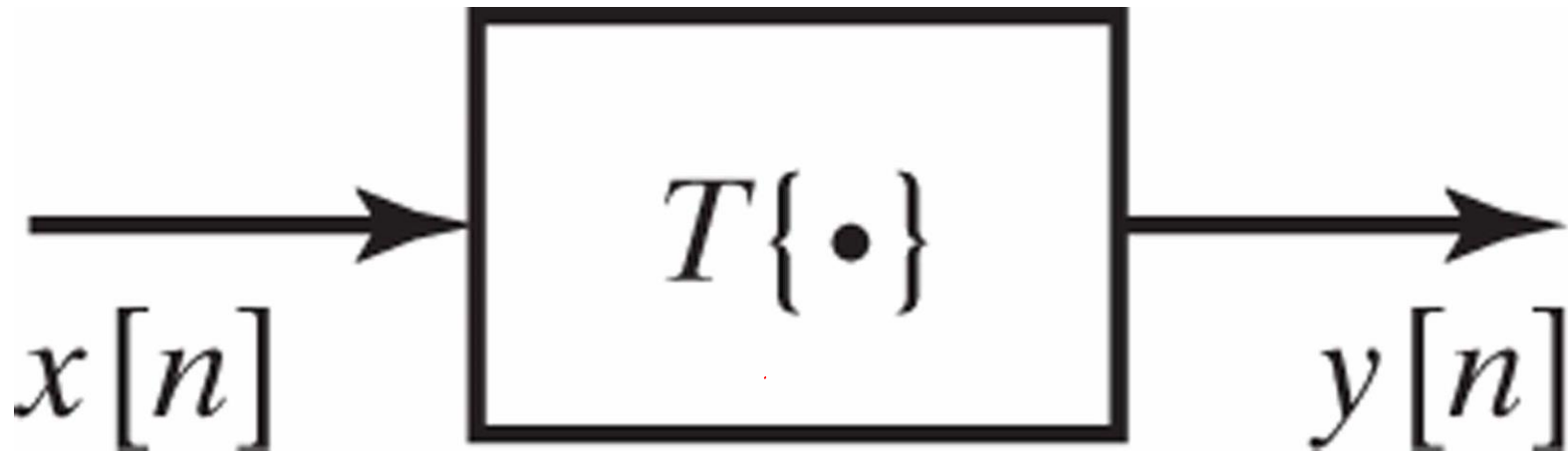


Figure 2.6 Representation of a discrete-time system, i.e., a transformation that maps an input sequence $x[n]$ into a unique output sequence $y[n]$.

$$y[n] = T\{x[n]\}$$

دودی ←
خروجی ←

۲- سیستم های زمان گسته



مثال: $y[n] = x[n - n_d]$
 $-\infty < n < \infty$
 delay
 n_d تا صفر

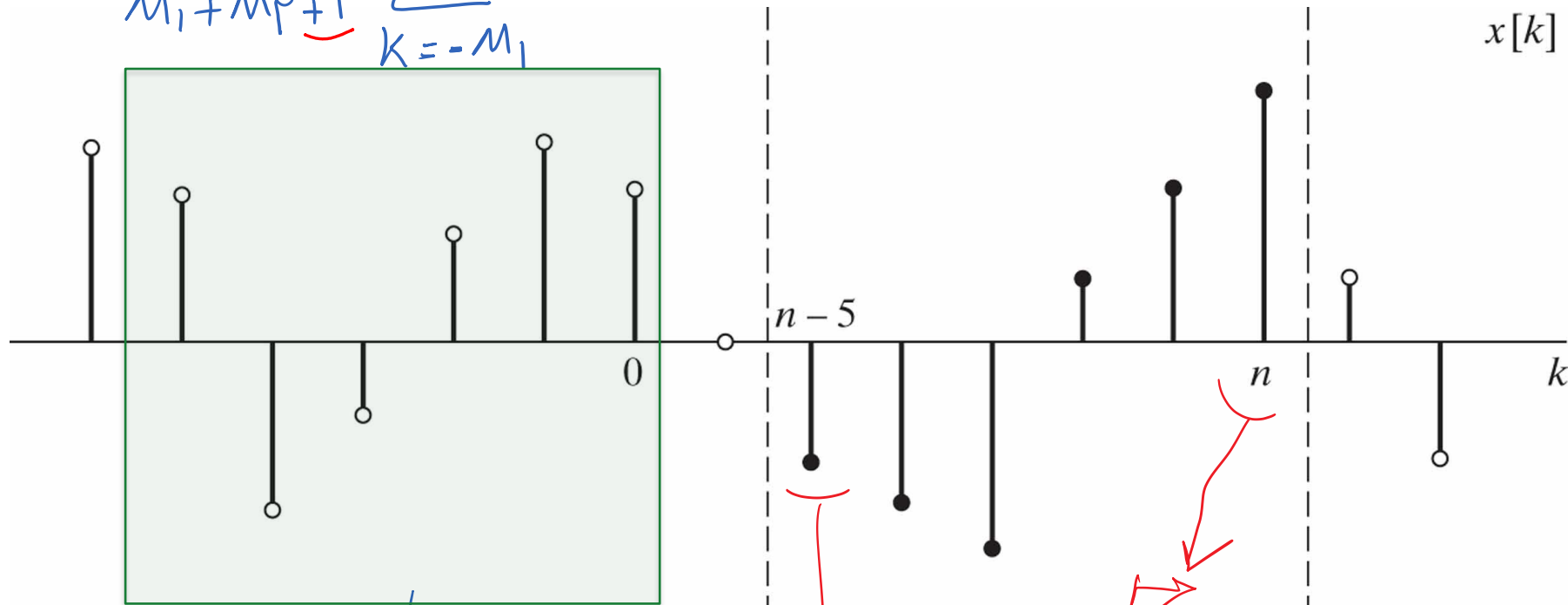
مثال: سیستم تأخیر ایده آل

Figure 2.7 Sequence values involved in computing a moving average with $M_1 = 0$ and $M_2 = 5$.

$$y[n] = \frac{1}{6} \sum_{k=0}^{\infty} x[n-k]$$

مثال ۲: سیم میانگین متحرک :

$$y[n] = \frac{1}{M_1 + M_2 + 1} \sum_{k=-M_1}^{M_2} x[n-k]$$



$$= \frac{1}{M_1 + M_2 + 1} \{ x[n+M_1] + x[n+M_1-1] + \dots + x[n] + x[n-1] + \dots + x[n-M_2] \}$$

ویژگی های سیستم های زمان گسسته:

۱-۲. سیستم های بدون حافظه: بدون حافظه $y[n] = (x[n])^2$ مثال:

حافظه دار $\rightarrow y[n] = x[n - n_d]$

Moving Average:

حافظه دار $\rightarrow y[n] = \frac{1}{M_1 + M_2 + 1} \sum_{k=-M_1}^{M_2} x[n-k]$

آثر $M_1 = M_2 = 0 \leftarrow$ بدون حافظه

۲-۲: سیستم های خطی: - همین $T\{\alpha x[n]\} = \alpha T\{x[n]\} = \alpha y[n]$ - جمع پذیر

$$T\{\underline{x_1[n]} + \underline{x_2[n]}\} = T\{\underline{x_1[n]}\} + T\{\underline{x_2[n]}\} = \underline{y_1[n]} + \underline{y_2[n]}$$

$$T\{\underline{ax_1[n]} + \underline{bx_2[n]}\} = aT\{\underline{x_1[n]}\} + bT\{\underline{x_2[n]}\} = a\underline{y_1[n]} + b\underline{y_2[n]} \quad \boxed{\text{خطی}}$$

superposition
جمع خطی

$$x[n] = \sum_k a_k x_k[n] \xrightarrow{\text{خطی}} y[n] = \sum_k a_k y_k[n]$$

نمونه: سیستم انباشتگر

Accumulator

$$y[n] = \sum_{k=-\infty}^n x[k]$$

خطی؟

$$\sum_{k=-\infty}^n (a x_1[k] + b x_2[k]) = a \underbrace{\sum_{k=-\infty}^n x_1[k]}_{y_1[n]} + b \underbrace{\sum_{k=-\infty}^n x_2[k]}_{y_2[n]}$$

$$= a y_1[n] + b y_2[n] \quad \checkmark$$

خطی

مسئله:

خطی؟

$$w[n] = \log_{10}(|x[n]|)$$

شش نقش:

جمع پذیری

$$x_1[n] = 10$$

$$x_2[n] = 1$$

$$\underline{x_3[n]} = x_1[n] + x_2[n]$$

$$\log_{10}(10 + 1) = \log_{10} 11 \stackrel{?}{\neq} \log_{10}(10) + \log_{10}(1) = 1$$

غیر خطی.

(Time-Invariant) (TI)

۳- سیستم های تغییرناپذیر، ثابت

$$x[n] \rightarrow y[n]$$

$$x[n-n_0] \rightarrow y[n-n_0]$$

Accumulator

مثال: سیستم انباشته

$$y[n] = \sum_{k=-\infty}^n x[k]$$

$$k - n_0 = m$$

$$k \rightarrow -\infty \Rightarrow m \rightarrow -\infty$$

$$k = n \Rightarrow m = n - n_0$$

$$\sum_{k=-\infty}^n x[\underbrace{k - n_0}_m] = \sum_{\underbrace{m=-\infty}_{k-n_0=m}}^{n-n_0} x[m] = y[n-n_0]$$

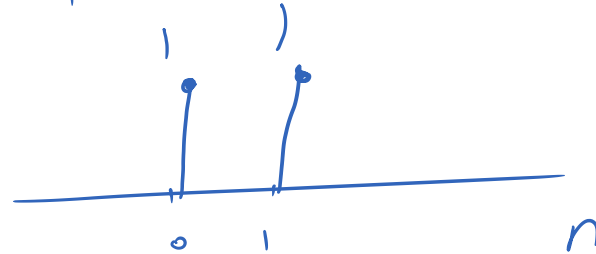
✓
TI

Compressor

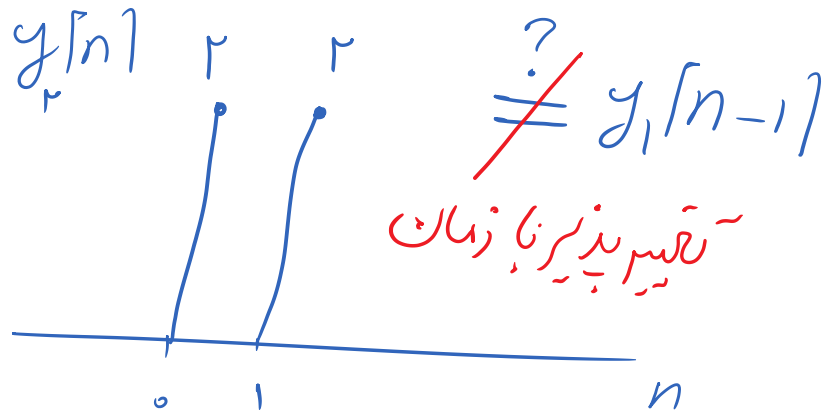
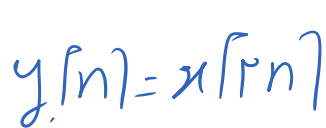
$$-\infty < n < \infty$$

۱۱: ربع، شمس

$y \sqrt{n}$



شماره پنجم



~ تقسیم پذیرنا زمان

Causality

۴-۲ - علی بودن :

- خروجی در لحظه $n = n_0$ فقط به ورودی در لحظات $n \leq n_0$ بستگی داشته باشد.

- استیسی به آینده وابسته نباشد : غیر پیشگو

مثال : سیستم تأخیر ایستاده $y[n] = x[n - n_d]$

$$\begin{cases} n_d \geq 0 : \text{علی} \\ n_d < 0 : \text{غیر علی} \end{cases}$$

Moving Average : سیستم میانگین متحرک

$$\rightarrow y[n] = \frac{1}{M_1 + M_2 + 1} \sum_{k=-M_1}^{M_2} x[n-k]$$

$$\begin{cases} \text{علی} : M_1 \geq 0, M_2 \geq 0 \\ \text{غیر علی} : \text{o.w.} \end{cases}$$

$$y[n] = x[Mn]$$

M صحیح و مثبت

$$M=2 ; N=1$$

$$y[1] = x[2]$$

غیر علی

stability

۲-۵ - stability

BIBO

ورودی محدود، خروجی محدود
 $x[n]$

نی توانه
 $n \rightarrow \infty$

$$|x[n]| \leq B_x < \infty$$

$\forall n$

$$|y[n]| \leq B_y < \infty$$

$\forall n$

$$y[n] = \sum_{k=-\infty}^n x[k]$$

مثال: سیستم این چنین

$$x[n] = u[n]$$

$$y[n] = \sum_{k=-\infty}^n u[k] = \sum_{k=0}^n u[k] = \begin{cases} 0 & ; n < 0 \\ n+1 & ; n \geq 0 \end{cases}$$

unstable
 $n \rightarrow \infty \Rightarrow y[n] \rightarrow \infty$

۳- سیستم های LTI :

Linear

Time-Invariant

ورودی خروجی سیستم $y[n] = T\{x[n]\}$

h : پاسخ مزین

$$= T\left\{\sum_{k=-\infty}^{+\infty} x[k] \delta[n-k]\right\}$$

از خطی بودن $= \sum_{k=-\infty}^{+\infty} x[k] T\{\delta[n-k]\} = \sum_{k=-\infty}^{+\infty} x[k] h_k[n]$

از تغییرناپذیری با زمان $= \sum_{k=-\infty}^{+\infty} x[k] h[n-k]$

کانولوشن
پیش

$$y[n] = x[n] * h[n]$$

Figure 2.8 Representation of the output of an LTI system as the superposition of responses to individual samples of the input.

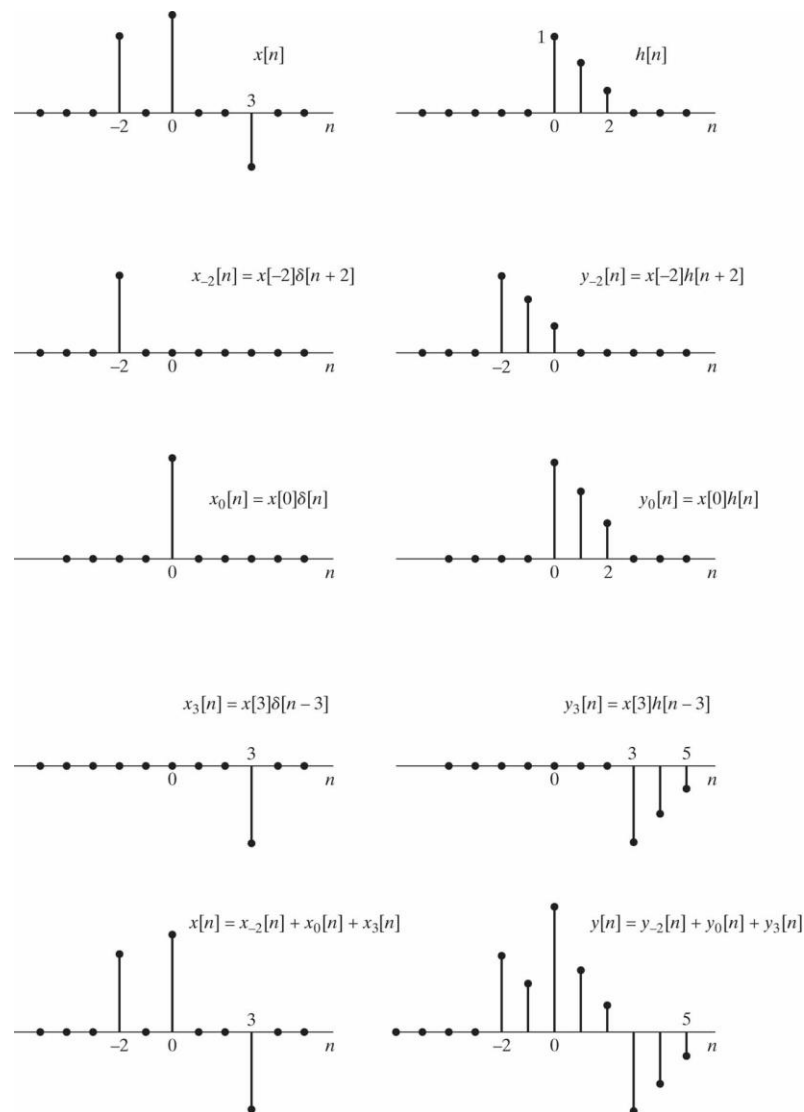


Figure 2.9 Forming the sequence $h[n - k]$. (a) The sequence $h[k]$ as a function of k . (b) The sequence $h[-k]$ as a function of k . (c) The sequence $h[n - k] = h[-(k - n)]$ as a function of k for $n = 4$.

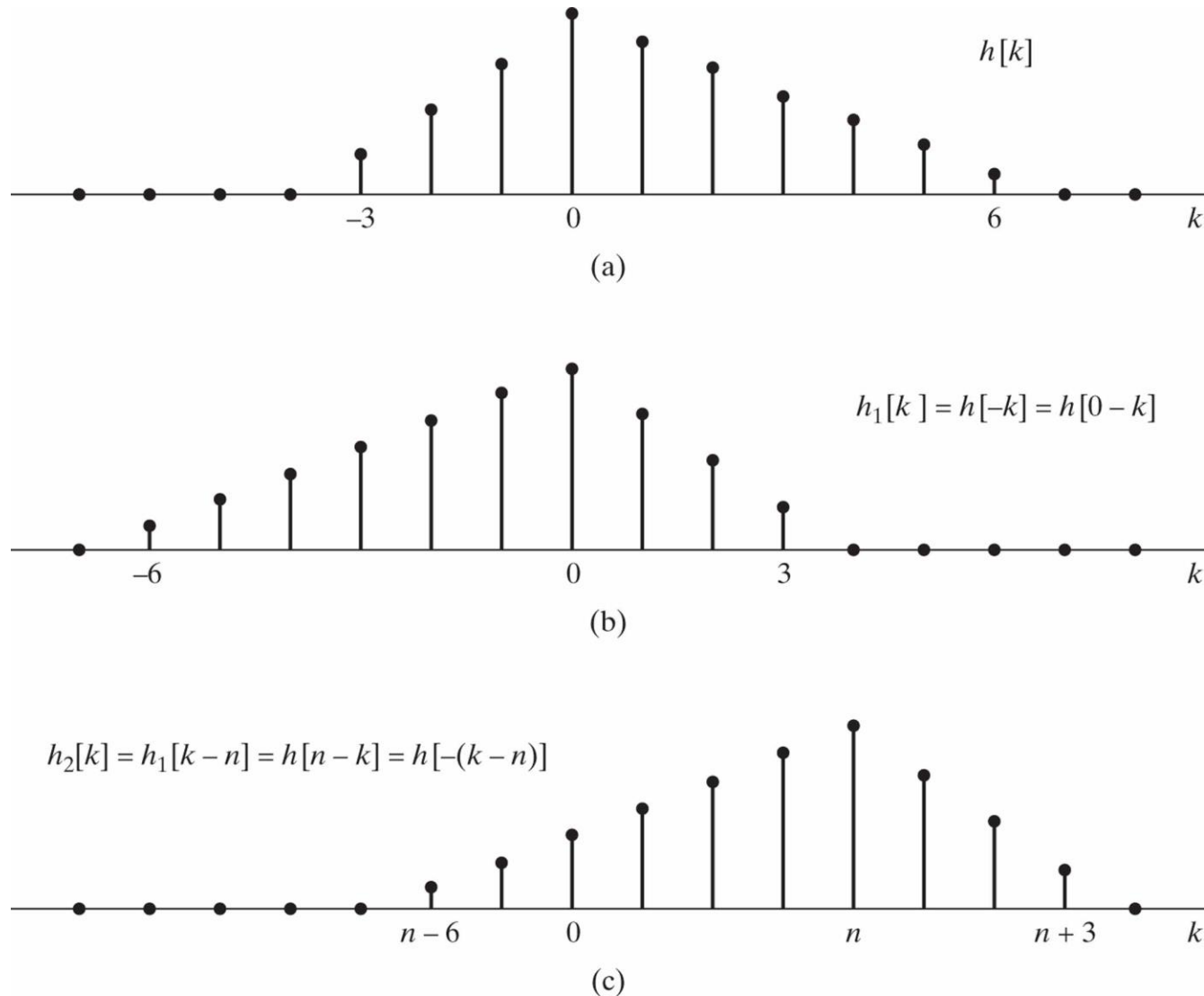
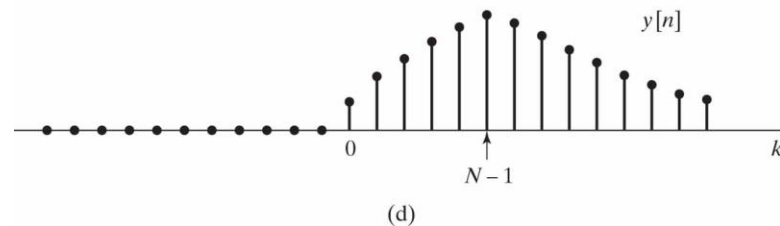
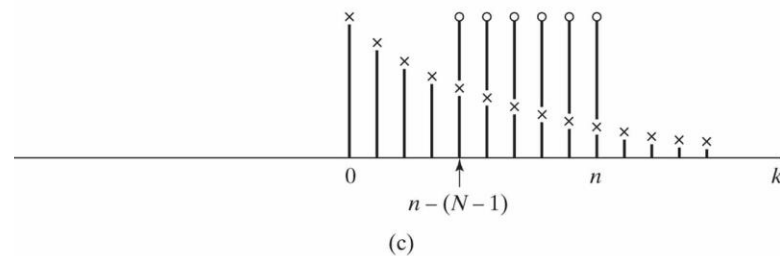
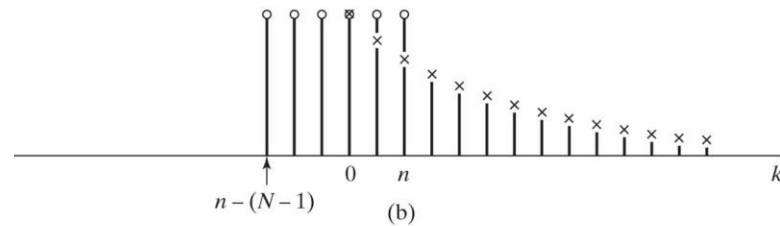
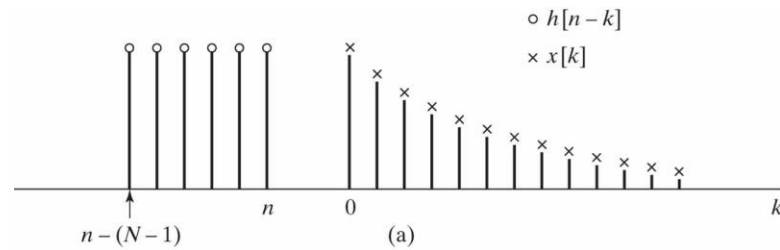


Figure 2.10 Sequence involved in computing a discrete convolution. (a)–(c) The sequences $x[k]$ and $h[n-k]$ as a function of k for different values of n . (Only nonzero samples are shown.) (d) Corresponding output sequence as a function of n .



110m

$$h[n] = u[n] - u[n-N]$$

$$= \begin{cases} 1 & ; 0 \leq n \leq N-1 \\ 0 & ; \text{o.w.} \end{cases}$$

$$x[n] = \begin{cases} a^n & ; n \geq 0 \\ 0 & ; n < 0 \end{cases}$$

$$x[n] = a^n u[n]$$

110m

۴ - ویژگی‌های سیستم‌های LTI :

: جابجایی پذیری

$$x[n] * h_1[n] = h_1[n] * x[n]$$

: تفکیک پذیری

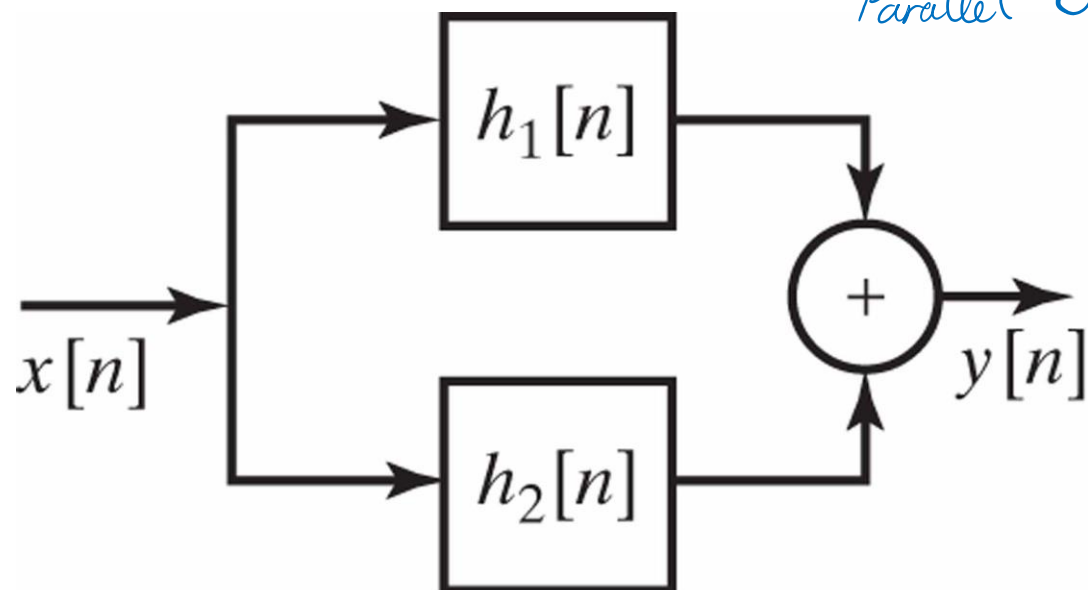
$$x[n] * (h_1[n] + h_2[n]) = x[n] * h_1[n] + x[n] * h_2[n]$$

: انجمنی

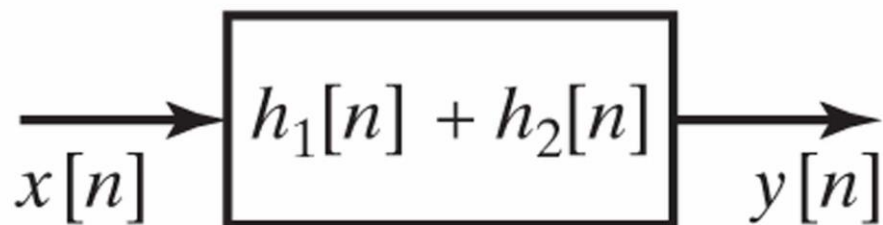
$$(x[n] * h_1[n]) * h_2[n] = x[n] * (h_1[n] * h_2[n]) \\ = (x[n] * h_2[n]) * h_1[n]$$

Figure 2.11 (a) Parallel combination of LTI systems. (b) An equivalent system.

سیستم‌های موازی Parallel

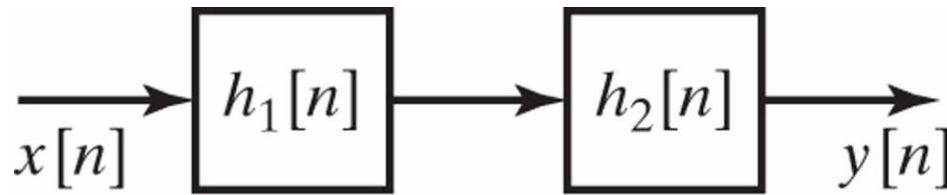


(a)

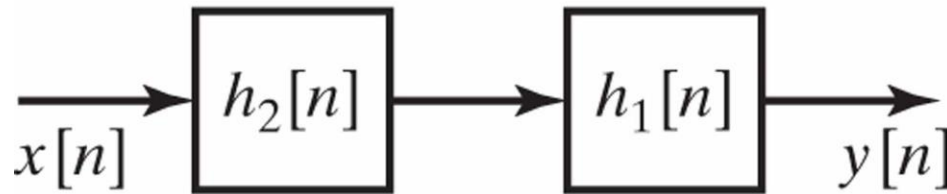


(b)

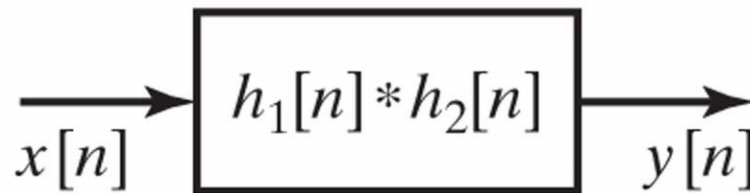
Figure 2.12 (a) Cascade combination of two LTI systems. (b) Equivalent cascade. (c) Single equivalent system.



(a)



(b)

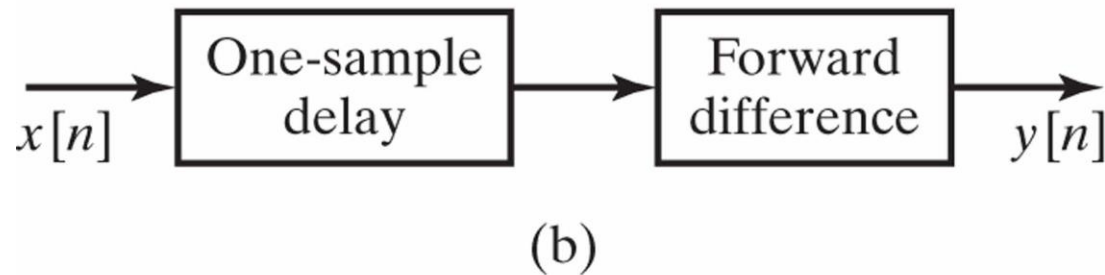
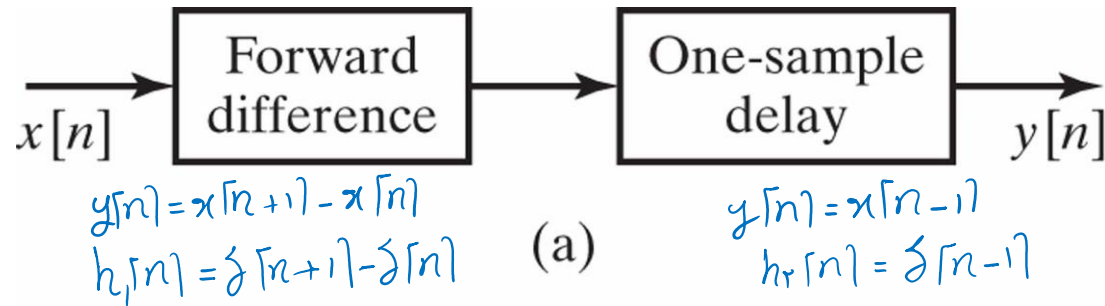


(c)

اگر سیستم LTI باشد:
"دو سیستم سری قابل جابجایی هستند"

مداخل سیستم زیر را به دست آورید:

Figure 2.13 Equivalent systems found by using the commutative property of convolution.



$$h[n] = h_1[n] * h_2[n] = (\delta[n+1] - \delta[n]) * \delta[n-1] = \delta[n] - \delta[n-1]$$

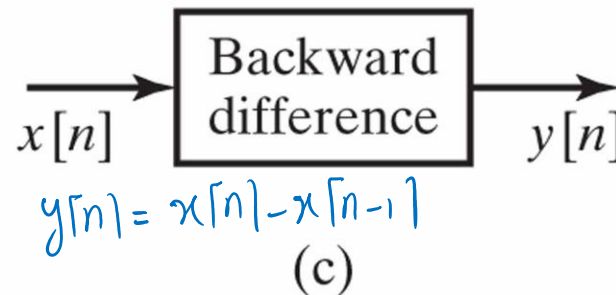


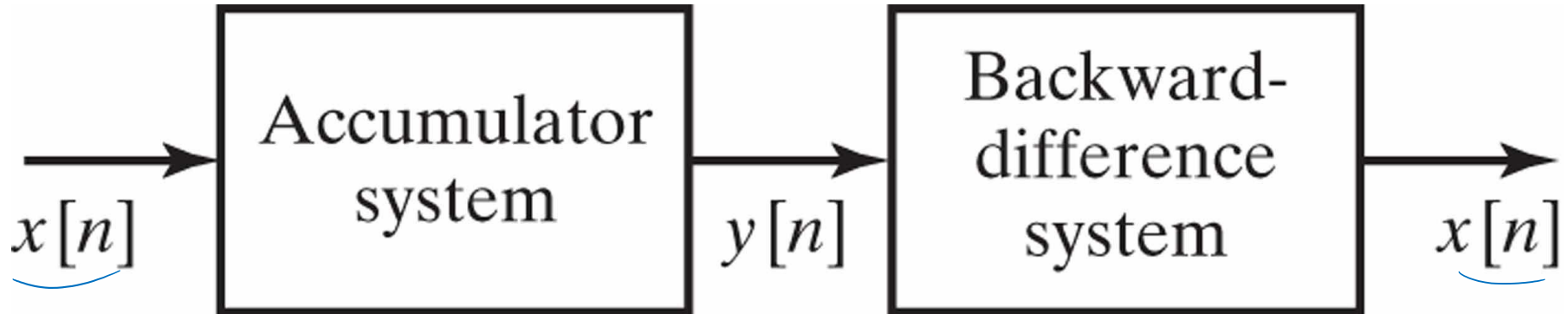
Figure 2.14 An accumulator in cascade with a backward difference. Since the backward difference is the inverse system for the accumulator, the cascade combination is equivalent to the identity system.

$$y[n] = \sum_{k=-\infty}^n x[k] \rightarrow h[n] = \sum_{k=-\infty}^n \delta[k] = u[n]$$

مشق: این دو سیستم برعکس یکدیگرند :

$$h_1[n] = u[n]$$

$$h_2[n] = \delta[n] - \delta[n-1]$$



$$\begin{aligned}
 h[n] &= h_1[n] * h_2[n] = u[n] * (\delta[n] - \delta[n-1]) \\
 &= u[n] - u[n-1] \\
 &= \delta[n]
 \end{aligned}$$

همانی

$$x[n] \rightarrow \boxed{\delta[n]} \rightarrow x[n]$$

ω - مدالات تفاضلی خطی با ضرایب ثابت :
(LCCDE)

Figure 2.15 Block diagram of a recursive difference equation representing an accumulator.

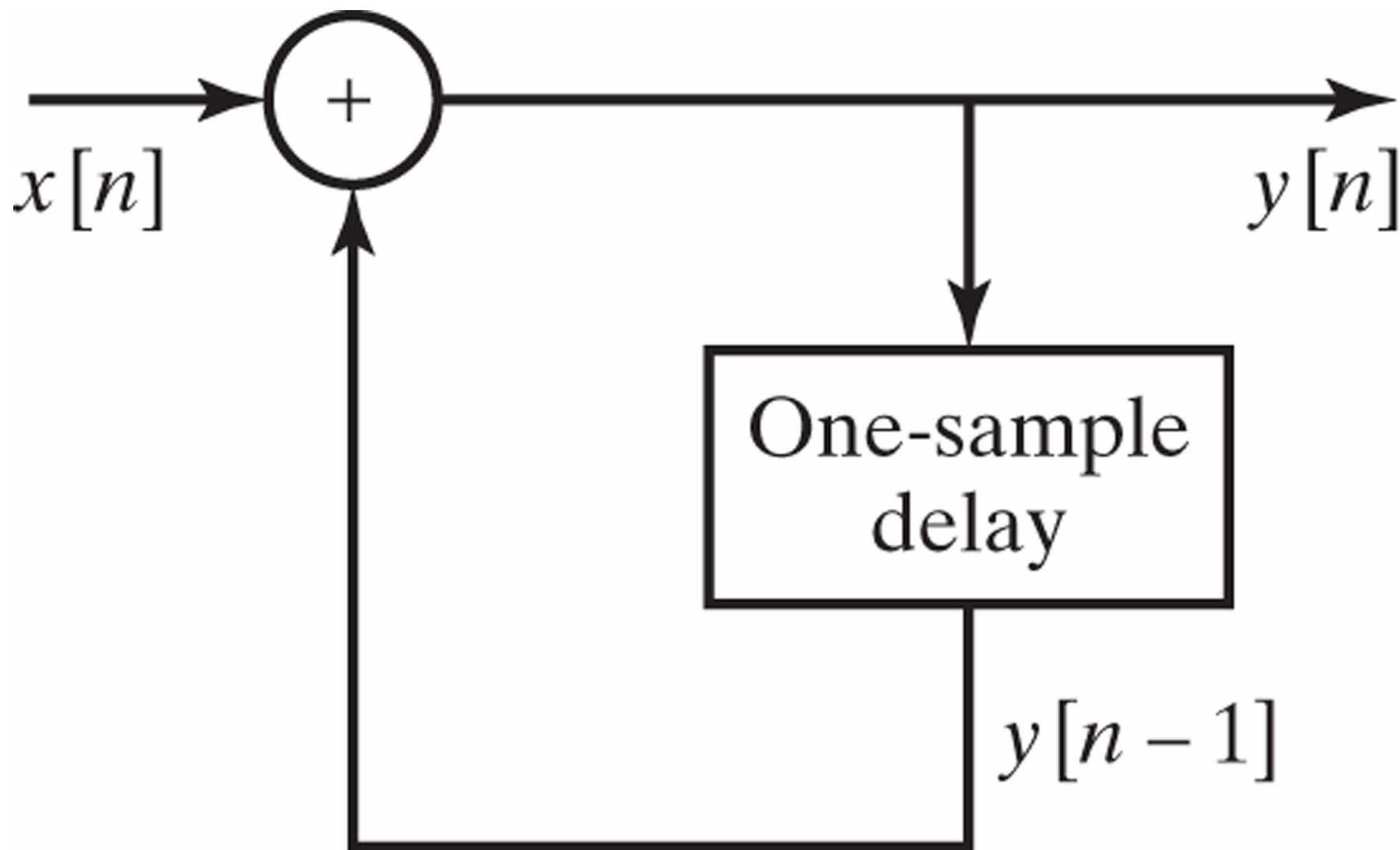
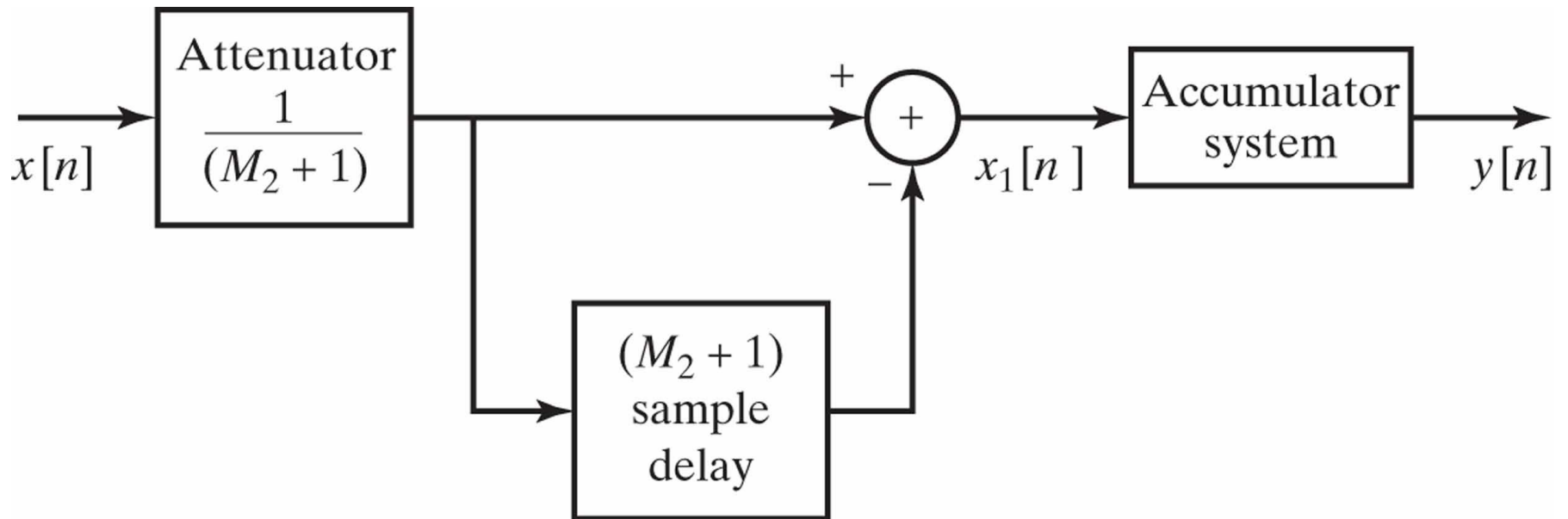


Figure 2.16 Block diagram of the recursive form of a moving-average system.



ادامه فصل دوم: ۶- نمایش حوزه فرکانس سیگنال‌های دسیمه‌ای زمان گسسته:

۱-۶: متوابع دسیمه‌ای LTI: $x[n] = e^{j\omega n}$; $-\infty < n < \infty$

کانولوشن $y[n] = \sum_{k=-\infty}^{+\infty} x[k] h[n-k] = \sum_{k=-\infty}^{+\infty} h[k] x[n-k]$

$$= \sum_{k=-\infty}^{+\infty} h[k] e^{j\omega(n-k)} = \sum_{k=-\infty}^{+\infty} h[k] e^{j\omega n} e^{-j\omega k}$$

$$= e^{j\omega n} \underbrace{\sum_{k=-\infty}^{+\infty} h[k] e^{-j\omega k}}_{H(e^{j\omega})}$$

$$\Rightarrow y[n] = \underbrace{H(e^{j\omega})}_{\text{تابع فرکانسی دسیمه}} \underbrace{e^{j\omega n}}$$

تابع فرکانسی دسیمه LTI

$$\left\{ \begin{array}{ll} \text{مختلط} & H(e^{j\omega}) = H_R(e^{j\omega}) + jH_I(e^{j\omega}) \\ \text{قطبی} & H(e^{j\omega}) = |H(e^{j\omega})| e^{j\angle H(e^{j\omega})} \end{array} \right. \quad \begin{array}{l} \text{قسمت حقیقی، موهومی} \\ \text{اندازه و فاز} \end{array}$$

تأخیر ساده $y[n] = x[n - n_d]$ مثال:

$$x[n] = e^{j\omega n} \rightarrow y[n] = e^{j\omega(n - n_d)} = \underbrace{e^{-j\omega n_d}}_{H(e^{j\omega})} e^{j\omega n}$$

$$\Rightarrow H(e^{j\omega}) = e^{-j\omega n_d}$$

$$\rightarrow H(e^{j\omega}) = \cos(\omega n_d) - j\sin(\omega n_d)$$

$$\rightarrow \begin{cases} H_R(e^{j\omega}) = \cos(\omega n_d) \\ H_I(e^{j\omega}) = -\sin(\omega n_d) \end{cases}$$

$$\rightarrow |H(e^{j\omega})| = 1 \quad ; \quad \angle H(e^{j\omega}) = -\omega n_d$$

نشان: باغ سینوسی LT I

$$x[n] = A \cos(\omega_0 n + \phi) = \frac{A}{2} e^{j\phi} e^{j\omega_0 n} + \frac{A}{2} e^{-j\phi} e^{-j\omega_0 n}$$

$$\rightarrow y_1[n] = H(e^{j\omega_0}) \frac{A}{2} e^{j\phi} e^{j\omega_0 n}$$

$$\rightarrow y_2[n] = H(e^{-j\omega_0}) \frac{A}{2} e^{-j\phi} e^{-j\omega_0 n}$$

$$\rightarrow y[n] = \frac{A}{2} [H(e^{j\omega_0}) e^{j\phi} e^{j\omega_0 n} + H(e^{-j\omega_0}) e^{-j\phi} e^{-j\omega_0 n}]$$

آنگاه $h[n]$ حقیقی باشد $\leftarrow H(e^{-j\omega_0}) = H^*(e^{j\omega_0})$

$$y[n] = A |H(e^{j\omega_0})| \cos(\omega_0 n + \phi + \theta)$$

$$\theta = \angle H(e^{j\omega_0})$$

نشان: سیستم تأخیر ایده‌آل:

$$y[n] = A \cos(\omega_0 n + \phi - \omega_0 n_d)$$

$$= A \cos(\omega_0 (n - n_d) + \phi)$$

$$z + z^* = 2 \operatorname{Re}\{z\}$$

* نکته: پاسخ فرکانسی سیگنال‌های زمانی LTI نسبت به ω با پериود 2π ، پریودیک است.

$$H(e^{j\omega}) \rightarrow H(e^{j(\omega+2\pi)}) = \sum_{n=-\infty}^{+\infty} h[n] e^{-j(\omega+2\pi)n}$$

$$e^{-j2\pi n} = 1$$

$$\rightarrow \sum_{n=-\infty}^{+\infty} h[n] e^{-j\omega n} = H(e^{j\omega}) \quad \checkmark \text{ پریودیک}$$

برای نمایش پاسخ فرکانسی $H(e^{j\omega})$ با توجه به پریودیک بودن آن می‌توان تنها بازه $-\pi \leq \omega \leq \pi$ را نمایش می‌دهد.

$-\pi \leq \omega \leq \pi$
 برای پاسخ‌های مستقر

ایده آل

Figure 2.17 Ideal lowpass filter showing (a) periodicity of the frequency response and (b) one period of the periodic frequency response.

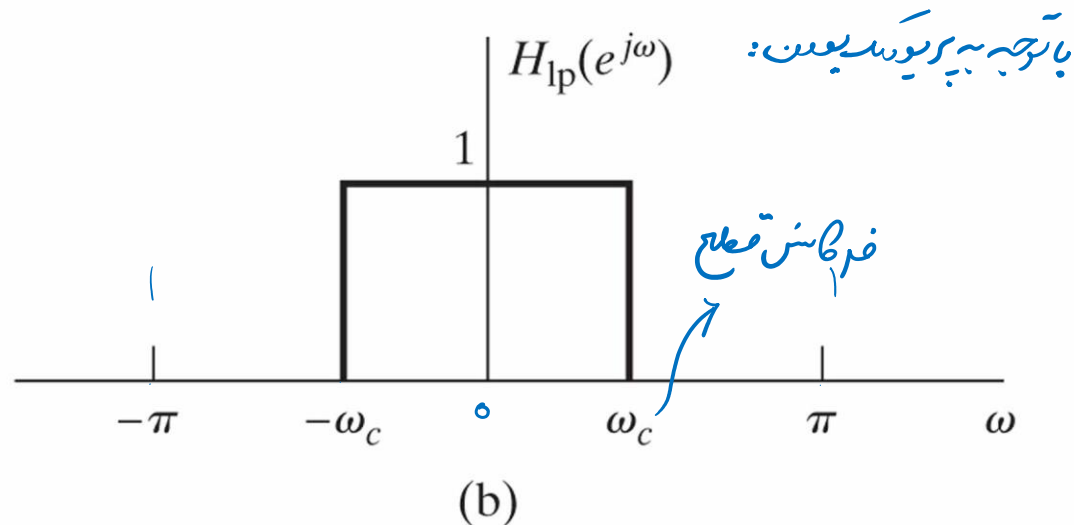
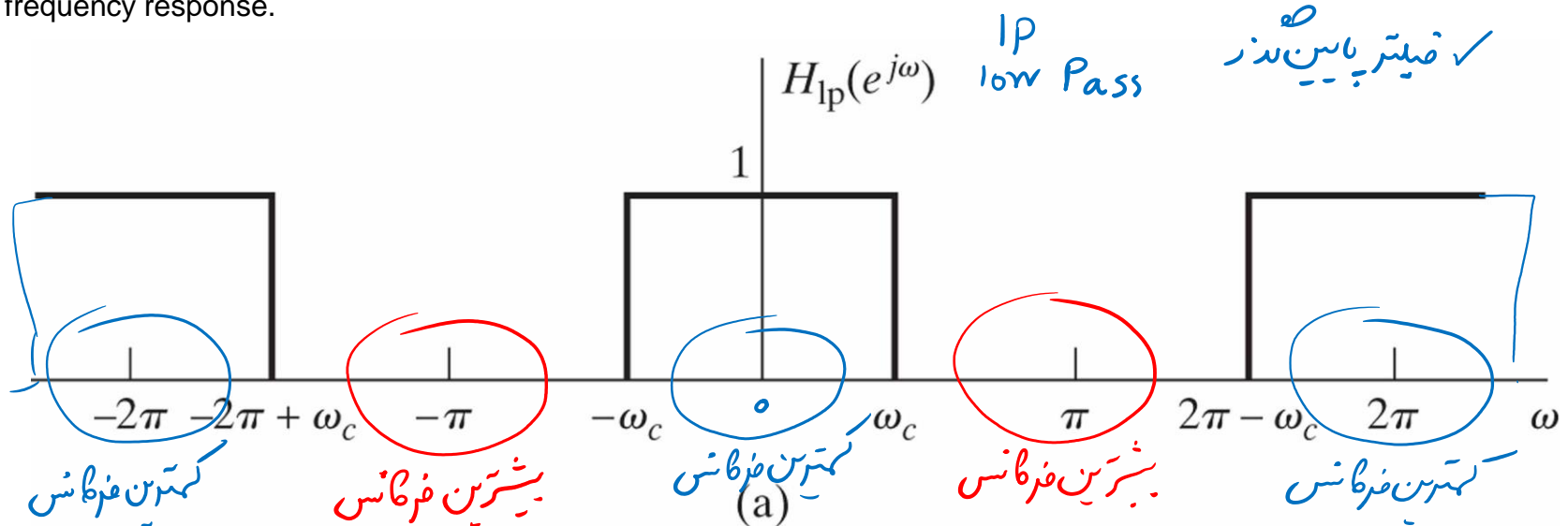
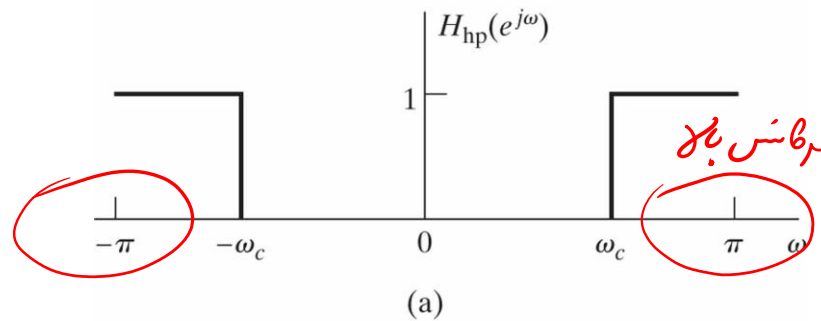
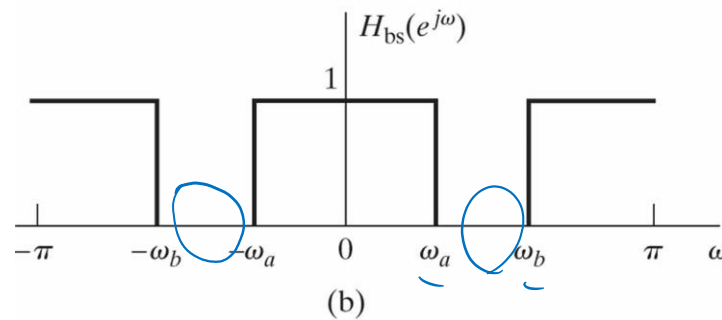


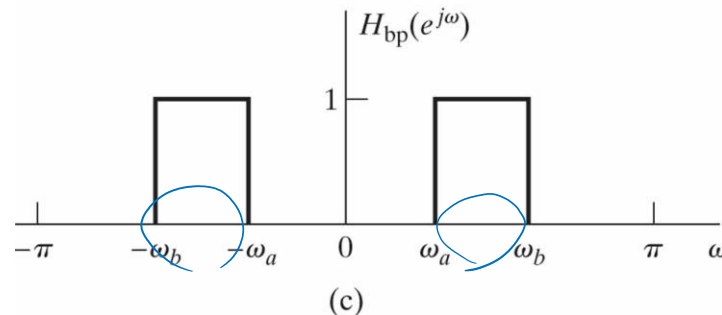
Figure 2.18 Ideal frequency-selective filters. (a) Highpass filter. (b) Bandstop filter. (c) Bandpass filter. In each case, the frequency response is periodic with period 2π . Only one period is shown.



hp ✓ فیلتر باند بالا
high pass



bs ✓ فیلتر میان‌گذر
band stop



bp ✓ فیلتر میان‌گذر
band pass

مثال: سیستم میانگین مگر: (MA)

یا سطح فزونی: δ

$$h[n] = \begin{cases} \frac{1}{M_1 + M_2 + 1} & ; -M_1 \leq n \leq M_2 \\ 0 & ; \text{o.w.} \end{cases}$$

$$H(e^{j\omega}) = \frac{1}{M_1 + M_2 + 1} \sum_{n=-M_1}^{M_2} e^{-j\omega n} \xrightarrow{M_1=0} \text{حالت خاص} H(e^{j\omega}) = \frac{1}{M_2 + 1} \sum_{n=0}^{M_2} e^{-j\omega n}$$

$$\begin{aligned} \rightarrow H(e^{j\omega}) &= \frac{1}{M_2 + 1} \left(\frac{1 - e^{-j\omega(M_2 + 1)}}{1 - e^{-j\omega}} \right) \\ &= \frac{1}{M_2 + 1} \frac{(e^{j\omega \frac{M_2 + 1}{2}} - e^{-j\omega \frac{M_2 + 1}{2}}) e^{-j\omega \frac{M_2 + 1}{2}}}{(e^{j\omega \frac{1}{2}} - e^{-j\omega \frac{1}{2}}) e^{-j\omega \frac{1}{2}}} \end{aligned}$$

$-1 = e^{j\pi}$

$M_1 = 0$

MA:

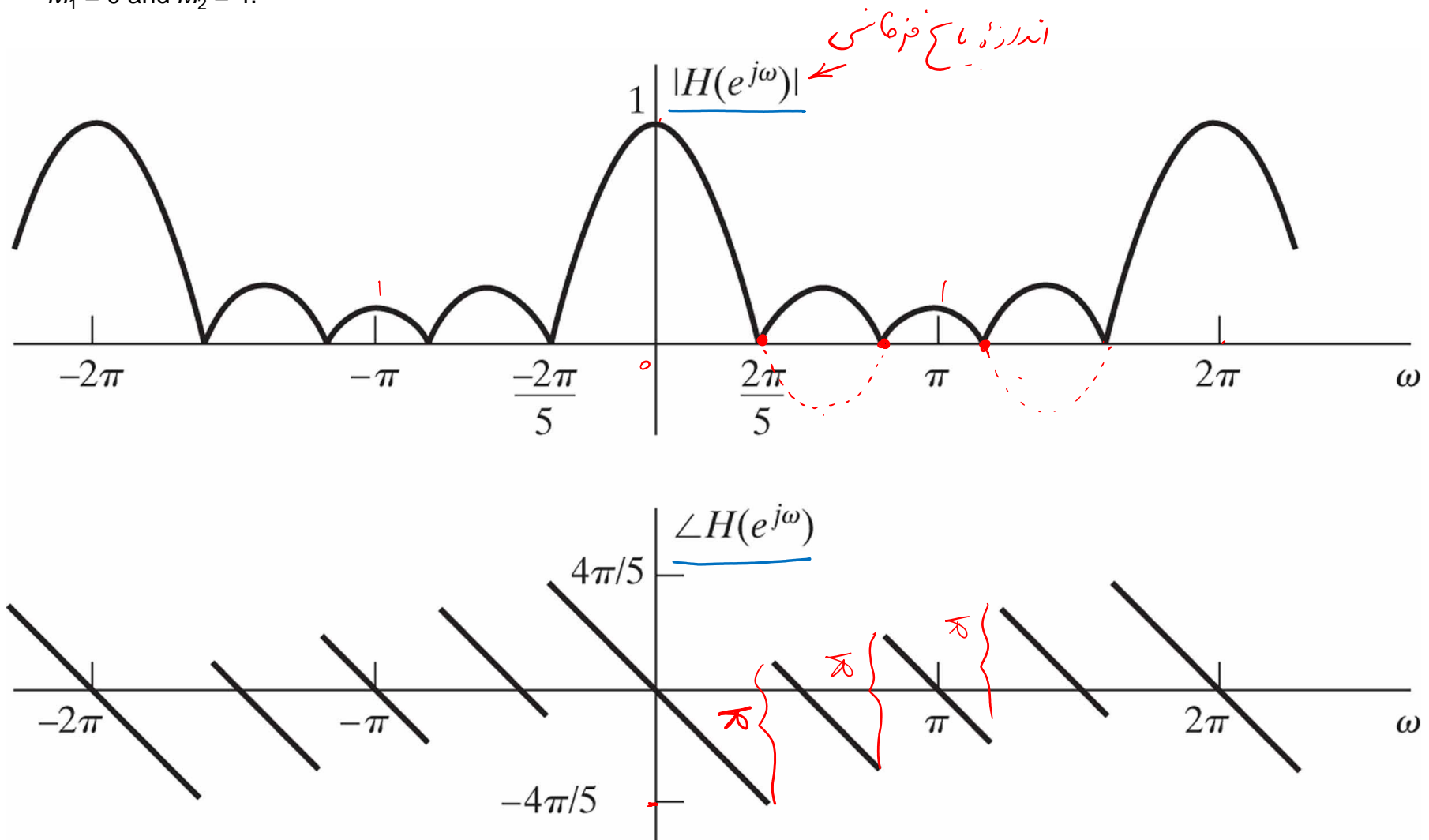
$$H(e^{j\omega}) = \underbrace{\frac{1}{M_2 + 1} \frac{\sin[\omega(\frac{M_2 + 1}{2})]}{\sin(\frac{\omega}{2})}}_{|H(e^{j\omega})|} \underbrace{e^{-j\omega \frac{M_2}{2}}}_{\angle H(e^{j\omega}) = -\omega \frac{M_2}{2}}$$

$|H(e^{j\omega})|$

$\angle H(e^{j\omega}) = -\omega \frac{M_2}{2}$

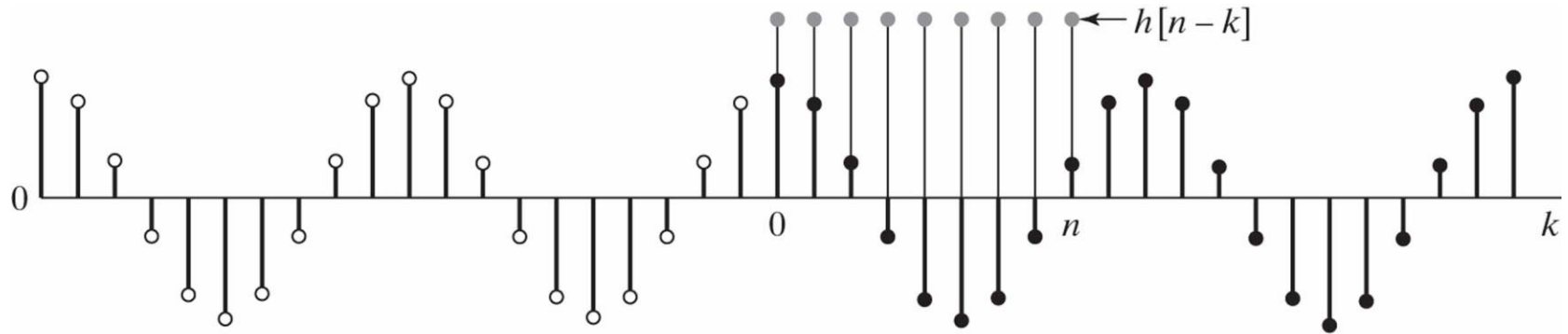
(رابطه 124)
حالت $M_1 = M_2$
برای M_2

Figure 2.19 (a) Magnitude and (b) phase of the frequency response of the moving-average system for the case $M_1 = 0$ and $M_2 = 4$.

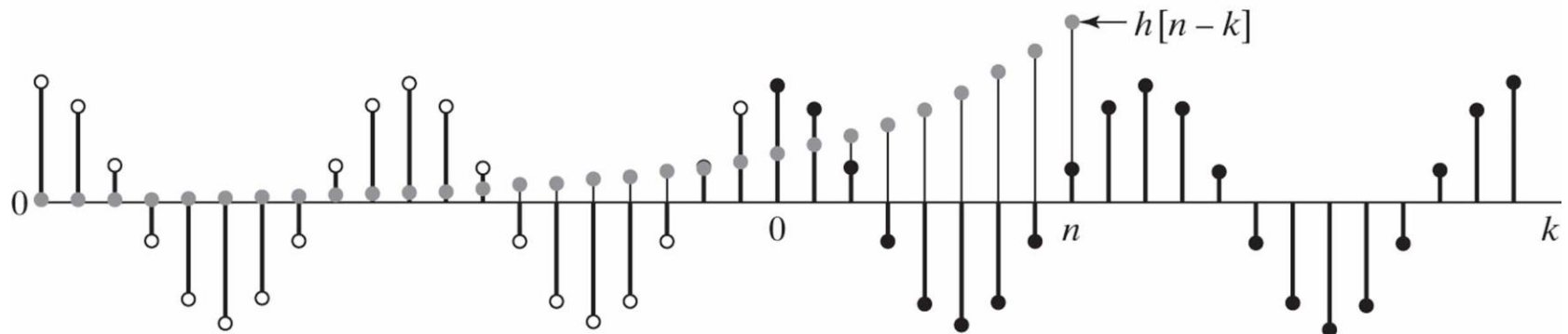


دورودی‌های نهایی نمیده که به طرور ناگهانی اعمال شده اند: $\left\{ \begin{array}{l} \text{transient} \\ \text{steady state} \end{array} \right\}$ پاش گذرا حالت دائم

Figure 2.20 Illustration of a real part of suddenly applied complex exponential input with (a) FIR and (b) IIR.



(a) نکته: شرط کافی برای اینکه پاسخ گذرا به سمت صفر میل کند (میراشود) پایداری سیستم است.



(b)

۷- نمایش دنباله ها با استفاده از تبدیل فوریه :

زوج تبدیل فوریه

$$\begin{cases} x[n] = \frac{1}{2\pi} \int_{-\pi}^{\pi} X(e^{j\omega}) e^{j\omega n} d\omega \\ X(e^{j\omega}) = \sum_{n=-\infty}^{+\infty} x[n] e^{-j\omega n} \end{cases}$$

تبدیل فوریه $x[n]$

شرط تبدیل فوریه :

← مطلقاً جمع پذیری

شرط کافی

$$\rightarrow \sum_{n=-\infty}^{+\infty} |x[n]| < \infty$$

دکارتی ← $\begin{cases} X(e^{j\omega}) = X_R(e^{j\omega}) + jX_I(e^{j\omega}) \\ X(e^{j\omega}) = |X(e^{j\omega})| e^{j\angle X(e^{j\omega})} \end{cases}$

قطبی ←

با جمع فزاینده

$$H(e^{j\omega}) = \sum_{n=-\infty}^{+\infty} h[n] e^{-j\omega n}$$

با جمع فزاینده

مثال :

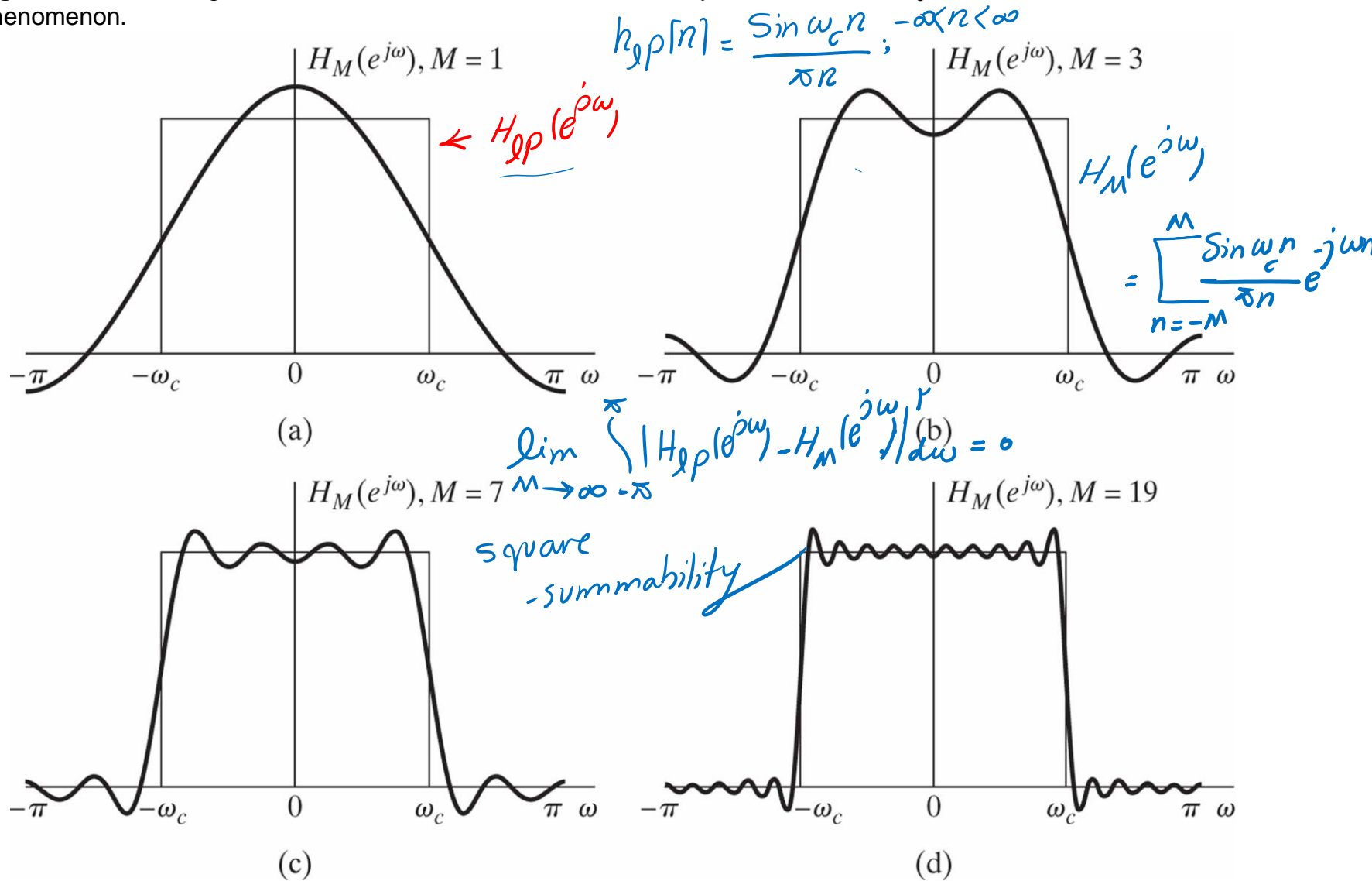
$$\begin{aligned} X(e^{j\omega}) &= \sum_{n=0}^{\infty} a^n e^{-j\omega n} \\ &= \sum_{n=0}^{\infty} (ae^{-j\omega})^n \end{aligned}$$

$$|ae^{-j\omega}| < 1$$

$$|a| < 1$$

$$X(e^{j\omega}) = \frac{1}{1 - ae^{-j\omega}}$$

Figure 2.21 Convergence of the Fourier transform. The oscillatory behavior at $\omega = \omega_c$ is often called the Gibbs phenomenon.



تبدیل فوری است و برای همبستگی از شرط های absolute summability، اندازده: square ~

مثال: $x[n] = 1 \quad \forall n$

$$\rightarrow X(e^{j\omega}) = \sum_{r=-\infty}^{+\infty} 2\pi \delta(\omega + 2\pi r)$$

$\omega = 0$

$$\rightarrow X(e^{j\omega}) = \sum_{r=-\infty}^{+\infty} 2\pi \delta(\omega - \omega_0 + 2\pi r)$$

$x[n] = ?$

$$x[n] = \frac{1}{2\pi} \int_{-\pi}^{\pi} 2\pi \delta(\omega - \omega_0) e^{j\omega n} d\omega \Rightarrow |x[n]| = e^{j\omega_0 n}$$

$$x[n] = u[n] \rightarrow U(e^{j\omega}) = \frac{1}{1 - e^{-j\omega}} + \sum_{r=-\infty}^{+\infty} \pi \delta(\omega + 2\pi r)$$

بالویت به δ ، $\omega_0 = 0$

$$x_e(e^{j\omega}) = \frac{1}{2} [X(e^{j\omega}) + X^*(e^{-j\omega})]$$

$$x_o(e^{j\omega}) = \frac{1}{2} [X(e^{j\omega}) - X^*(e^{-j\omega})]$$

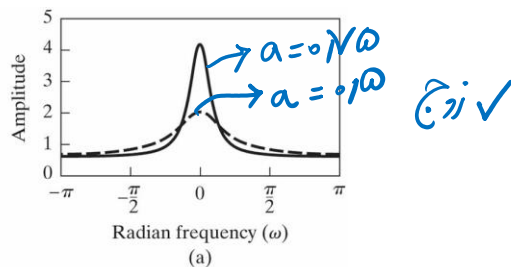
Table 2.1 SYMMETRY PROPERTIES OF THE FOURIER TRANSFORM

TABLE 2.1 SYMMETRY PROPERTIES OF THE FOURIER TRANSFORM

Sequence $x[n]$	Fourier Transform $X(e^{j\omega})$
1. $x^*[n]$	$X^*(e^{-j\omega})$
2. $x^*[-n]$	$X^*(e^{j\omega})$
3. $\mathcal{Re}\{x[n]\}$	$X_e(e^{j\omega})$ (<u>conjugate-symmetric part of $X(e^{j\omega})$</u>)
4. $j\mathcal{Im}\{x[n]\}$	$X_o(e^{j\omega})$ (<u>conjugate-antisymmetric part of $X(e^{j\omega})$</u>)
5. $x_e[n]$ (<u>conjugate-symmetric part of $x[n]$</u>)	$X_R(e^{j\omega}) = \mathcal{Re}\{X(e^{j\omega})\}$
6. $x_o[n]$ (<u>conjugate-antisymmetric part of $x[n]$</u>)	$jX_I(e^{j\omega}) = j\mathcal{Im}\{X(e^{j\omega})\}$
<i>The following properties apply only when $x[n]$ is real:</i>	
7. Any real $x[n]$	$\rightarrow X(e^{j\omega}) = X^*(e^{-j\omega})$ (Fourier transform is conjugate symmetric)
8. Any real $x[n]$	$\left\{ \begin{array}{l} X_R(e^{j\omega}) = X_R(e^{-j\omega}) \text{ (real part is even)} \\ X_I(e^{j\omega}) = -X_I(e^{-j\omega}) \text{ (imaginary part is odd)} \\ X(e^{j\omega}) = X(e^{-j\omega}) \text{ (magnitude is even)} \\ \angle X(e^{j\omega}) = -\angle X(e^{-j\omega}) \text{ (phase is odd)} \end{array} \right.$
9. Any real $x[n]$	
10. Any real $x[n]$	
11. Any real $x[n]$	
12. $x_e[n]$ (<u>even part of $x[n]$</u>)	$X_R(e^{j\omega})$
13. $x_o[n]$ (<u>odd part of $x[n]$</u>)	$jX_I(e^{j\omega})$

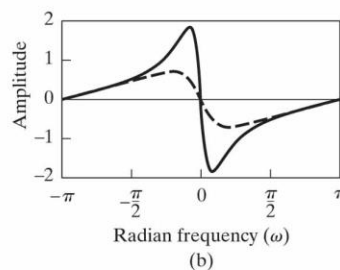
Figure 2.22 Frequency response for a system with impulse response $h[n] = a^n u[n]$. (a) Real part. $a > 0$; $a = 0.75$ (solid curve) and $a = 0.5$ (dashed curve). (b) Imaginary part. (c) Magnitude. $a > 0$; $a = 0.75$ (solid curve) and $a = 0.5$ (dashed curve). (d) Phase.

$$x_R(e^{j\omega})$$



→ $x[n] = a^n u[n]$ شماره:
حقیقی

$$x_I(e^{j\omega})$$

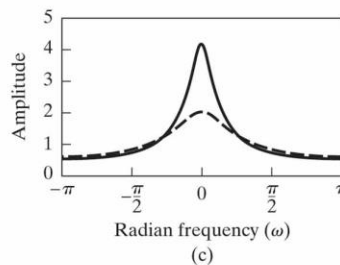


زیج ✓

$$x(e^{j\omega}) = \frac{1}{1 - ae^{-j\omega}}$$

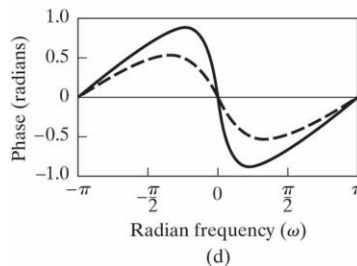
س! $|a| < 1$

$$|x(e^{j\omega})|$$



زیج ✓

$$\angle x(e^{j\omega})$$



زیج ✓

Table 2.2 FOURIER TRANSFORM THEOREMS

TABLE 2.2 FOURIER TRANSFORM THEOREMS

	Sequence	Fourier Transform
	$x[n]$	$X(e^{j\omega})$
	$y[n]$	$Y(e^{j\omega})$
	1. $ax[n] + by[n]$	$aX(e^{j\omega}) + bY(e^{j\omega})$
خطی	2. $x[n - n_d]$ (n_d an integer)	$e^{-j\omega n_d} X(e^{j\omega})$
انتقال	3. $e^{j\omega_0 n} x[n]$	$X(e^{j(\omega - \omega_0)})$
انتقال فرکانسی	4. $x[-n]$	$X(e^{-j\omega})$
وارون		$X^*(e^{j\omega})$ if $x[n]$ real.
	5. $\frac{d}{dn} x[n]$	$j \frac{dX(e^{j\omega})}{d\omega}$
مشتق در زمان	6. $x[n] * y[n]$	$X(e^{j\omega}) Y(e^{j\omega})$
کانولوشن	7. $x[n] y[n]$	$\frac{1}{2\pi} \int_{-\pi}^{\pi} X(e^{j\theta}) Y(e^{j(\omega - \theta)}) d\theta$
ضرب		
	Parseval's theorem:	
انرژی	8. $\sum_{n=-\infty}^{\infty} x[n] ^2 = \frac{1}{2\pi} \int_{-\pi}^{\pi} X(e^{j\omega}) ^2 d\omega$	
رابطه کلاسیک	9. $\sum_{n=-\infty}^{\infty} x[n] y^*[n] = \frac{1}{2\pi} \int_{-\pi}^{\pi} X(e^{j\omega}) Y^*(e^{j\omega}) d\omega$	

$$x(e^{j\omega}) = x^*(e^{-j\omega})$$

ضرب

کانولوشن پیوسته

$$\frac{1}{2\pi} \int_{-\pi}^{\pi} X(e^{j\theta}) Y(e^{j(\omega - \theta)}) d\theta$$

ESD: energy spectral density

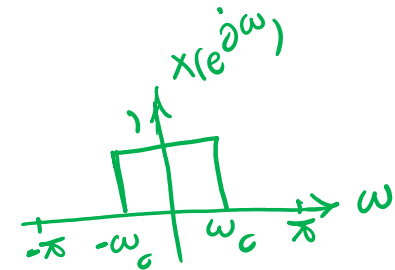
$$y[n] = x[n]$$

Table 2.3 FOURIER TRANSFORM PAIRS

تبدیل فوریه های مهم:

TABLE 2.3 FOURIER TRANSFORM PAIRS

Sequence	Fourier Transform
1. $\delta[n]$	1
2. $\delta[n - n_0]$	$e^{-j\omega n_0}$
→ 3. 1 $(-\infty < n < \infty)$	$\sum_{k=-\infty}^{\infty} 2\pi \delta(\omega + 2\pi k)$
4. $a^n u[n]$ $(a < 1)$	$\frac{1}{1 - ae^{-j\omega}}$
→ 5. $u[n]$	$\frac{1}{1 - e^{-j\omega}} + \sum_{k=-\infty}^{\infty} \pi \delta(\omega + 2\pi k)$
6. $(n + 1)a^n u[n]$ $(a < 1)$	$\frac{1}{(1 - ae^{-j\omega})^2}$
7. $\frac{r^n \sin \omega_p (n + 1)}{\sin \omega_p} u[n]$ $(r < 1)$	$\frac{1}{1 - 2r \cos \omega_p e^{-j\omega} + r^2 e^{-j2\omega}}$
8. $\frac{\sin \omega_c n}{\pi n}$	$X(e^{j\omega}) = \begin{cases} 1, & \omega < \omega_c, \\ 0, & \omega_c < \omega \leq \pi \end{cases}$
دنباله محدوده 9. $x[n] = \begin{cases} 1, & 0 \leq n \leq M \\ 0, & \text{otherwise} \end{cases}$	$\frac{\sin[\omega(M + 1)/2]}{\sin(\omega/2)} e^{-j\omega M/2}$
→ 10. $e^{j\omega_0 n}$	$\sum_{k=-\infty}^{\infty} 2\pi \delta(\omega - \omega_0 + 2\pi k)$
→ 11. $\cos(\omega_0 n + \phi)$ ایم	$\sum_{k=-\infty}^{\infty} [\pi e^{j\phi} \delta(\omega - \omega_0 + 2\pi k) + \pi e^{-j\phi} \delta(\omega + \omega_0 + 2\pi k)]$



دنباله محدوده

$$x[n] = a^n u[n-5] \rightarrow X(e^{j\omega}) = ?$$

: ans

$$a^n u[n] \rightarrow \frac{1}{1 - ae^{-j\omega}}$$

$$a^{n-5} u[n-5] \rightarrow e^{-j5\omega} \frac{1}{1 - ae^{-j\omega}}$$

$$a^{-5} \underbrace{a^n u[n-5]} \rightarrow e^{-j5\omega} \frac{1}{1 - ae^{-j\omega}}$$

$$a^n u[n-5] \rightarrow \frac{a^5 e^{-j5\omega}}{1 - ae^{-j\omega}}$$

مثلاً: عکس تبدیل فوریه، زکرا به اسکالر:

$$X(e^{j\omega}) = \frac{1}{(1 - ae^{-j\omega})(1 - be^{-j\omega})}$$

تجزیه به کسرهاں جانی،

$$= \frac{\frac{a}{a-b}}{1 - ae^{-j\omega}} + \frac{\frac{b}{b-a}}{1 - be^{-j\omega}} = \left(\frac{a}{a-b}\right)a^n u[n] - \left(\frac{b}{a-b}\right)b^n u[n]$$

10 مرتبه

Discrete time random signals

نویز